

名古屋工業大学

正員 岡林 稔

正員 長谷部宣男

きえがき 与えられた境界条件のもとで2次元弹性問題を解くには、一般に Fredholm の積分方程式と解かねばならないが、これを解くことは一般に容易でない。しかし与えられた領域が有理函数によつて単位円(文献1)や半平面(文献2)に等角写像されるときには、積分方程式を解くことなく同じ形の解が得られる。従つて与えられた領域を単位円や半平面に等角写像する函数が有理函数でない場合には、いかにして精度のよい有理近似写像函数を作るかが問題である。本論文では、ラーメン隅角部の領域を単位円に写像する有理近似写像函数を1次分数式の和の形に求め、Muskhishvili の方法(文献1)によつて応力解析を行つた。

写像函数 (図-1)に示すような ζ 平面上の中点Oの挿曲

がつ左無限長の帯を ζ 平面上の単位円に等角写像する函数は、

Schwarz-Christoffel の変換を用いて

$$Z = \frac{2}{\pi} \int \frac{1}{1+\zeta^2} \left(\frac{1+\zeta}{1-\zeta} \right)^{1-2p} d\zeta \quad (1)$$

と表わされる。ここにPは隅角部の角度を表すラメータであり、隅角点A, BおよびC, D点は、単位円上の点 $\zeta = 1, -1, i, -i$ および $-i$ にそれぞれ対応させた。

式(1)は $\zeta = \pm i$ において帶の無限長に伸びる対数的特異点であり、 $\zeta = \pm 1$ においては隅角点を持つ特異点である。そしてこれら2点の近傍においてはその写像函数の収束が極めて遅くなることを考慮して次のように変形する。

$$Z = \frac{2}{\pi} \int \left[\frac{A_1 + A_2}{1+\zeta^2} + \sum_{k=0}^{\infty} A_k \zeta^k \right] d\zeta = \frac{2}{\pi} \int \frac{A_1 + A_2}{1+\zeta^2} d\zeta + \frac{2}{\pi} \sum_{k=1}^{\infty} A'_k \zeta^k \quad (2)$$

これは $\zeta = \pm i$ の特異点を表す項(オ1項)とそれ以外の項とに分離してべき級数展開した項とで表したもので A_1, A_2 の値は計算の結果 $A_1 = \sin p\pi, A_2 = \cos p\pi$ である。そして(2)式のオ1項 $\int (A_1 + A_2)/(\zeta^2 + 1) d\zeta$ をべき級数に展開した級数とオ2項 $\sum_{k=1}^{\infty} A'_k \zeta^k$ のべき級数の収束の速さが違うことを考え、これらの各々について有理近似写像函数を1次分数式の形で作ろうとするもので

$\int (A_1 + A_2)/(\zeta^2 + 1) d\zeta$ の項についてこの作り方を説明する。オ1項を

$$\int \frac{A_1 + A_2}{1+\zeta^2} = \frac{A_1 + A_2}{2} \int \frac{d\zeta}{1+i\zeta} + \frac{A_1 - A_2}{2} \int \frac{d\zeta}{1-i\zeta} \quad \text{と変形して、このうちの} \int \frac{d\zeta}{1-i\zeta} \quad \text{について考}$$

える。 $\int d\zeta / (1-i\zeta)$ をべき級数に展開すると

$$\int \frac{d\zeta}{1-i\zeta} = \zeta + \frac{i}{2} \zeta^2 + \frac{i^2}{3} \zeta^3 + \dots + \frac{i^{k-1}}{k} \zeta^k + \dots \quad (3)$$

と表わされ、 ζ^k の系数を $a_{k,i}$ と表わすとする。そして式(3)に対する近似写像函数として一次分数式

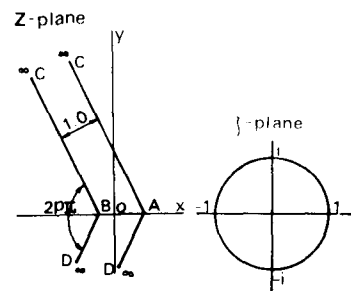


Figure-1

の和の形で

$$\sum_{k=1}^N \frac{B_k}{1-i\beta_k} = \sum_{k=1}^N \left[B_k (1+i\beta_k) + i\beta_k^2 + \dots \right] \quad (4)$$

を考える。ここで $|i\beta_k| < 1$ である。Nは一次分式の個数を表す。そして式(3)と(4)が並列的に等しくなるように式(4)の中に含められてる $2N$ 個の未定定数 B_k を定めようとするもので、本論文においては $N=12$ 個の分式を選んだ。そして B_k を定めるために式(3)と式(4)と並次のべき乗の係数において等しくなるように選んだ。すなわち $a_2, a_3, a_4, a_5, a_{16}, a_{20}, a_{22}, a_{40}, a_{120}, a_{192}, a_{256}, a_{320}, a_{1024}, a_{1536}, a_{2048}, a_{2560}, a_{8192}, a_{1228}, a_{16384}, a_{24576}, a_{49152}, a_{98304}, a_{196608}$ の 24 個である。これより未定定数 B_k を定める式は、次の 24 個の式になる。

$$\begin{aligned} B_1\beta_1^2 + B_2\beta_2^2 + \dots & \dots + B_{12}\beta_{12}^2 = a_2 \\ B_1\beta_1^3 + B_2\beta_2^3 + \dots & \dots + B_{12}\beta_{12}^3 = a_3 \\ \vdots & \vdots \\ B_1\beta_1^{163840} + B_2\beta_2^{163840} & \dots + B_{12}\beta_{12}^{163840} = a_{163840} \end{aligned}$$

しかしこれらの式を解析的に解くことは不可能であるので電子計算機を利用して反復繰返し計算により求めた。また $|i\beta_k| < 1$ であることはその結果よりわかる

。この値は(表-1)の最上段に示した。かくして式(3)に対する近似分式は

$$\int \frac{d\zeta}{1-i\zeta} = \zeta + \sum_{k=1}^{12} \left[\frac{B_k}{1-i\beta_k} - B_k - iB_k\beta_k \right] \cdot \frac{1}{i} \quad (5)$$

の形で求まる。また式(5)の B_k, β_k が求まれば $\int d\zeta / (1+i\zeta)$ に対する近似分式は、式(5)の B_k, β_k の値を負にしたものを利用すればよい。

次に、式(2)のべき級数の部分に関する近似分式の作り方も同様の方法によることが出来るが、級数 $\sum_{k=1}^{\infty} A'_k z^k$ の収束の化方が偶数べきと奇数べきとによって違うことを考慮して偶数べき、奇数べきの各々に対して次のようない分式の形で求めた。

偶数べきに対して $\sum_{k=1}^{\infty} [C_k / (1-\beta_k^2)]$, 奇数べきに対して $\sum_{k=1}^{\infty} [D_k / (1-\delta_k^2)]$ 。

ここに分式の個数は、2次の形で各々 6 個に選んだ。未定定数 $C_k, D_k, \beta_k, \delta_k$ を定めるために選んでみたべき級数 $\sum_{k=1}^{\infty} A'_k z^k$ の係数は、偶数べきに対して $A'_2, A'_4, A'_6, A'_8, A'_{16}, A'_{32}, A'_{64}, A'_{128}, A'_{256}, A'_{512}$ 、奇数べきに対して $A'_1, A'_3, A'_5, A'_9, A'_{15}, A'_{31}, A'_{63}, A'_{127}, A'_{255}, A'_{511}$ を選んでみた。

そして $C_k, D_k, \beta_k, \delta_k$ の値を求める方法は、 B_k, β_k の値を決めたのと同じで電子計算機で反復計算させた。 $C_k, D_k, \beta_k, \delta_k$ の値は、ラーメン隅角部の角度の 10 ラメータ P によって変わり、1 例として $2P\pi = 130^\circ$ のときの値を(表-1)に示した。

以上まとめると、ラーメン隅角部の領域を単位円に写像する有理近似写像函数は、多少の变形を行つて次のようにな書かれる。

$$Z = \omega(\zeta) = \frac{2}{\pi} \left[\left(1 - \text{SIMP} \sum_{k=1}^{12} B_k \beta_k - \sum_{k=1}^6 D_k \right) \zeta + \left(\text{COPT} \sum_{k=1}^{12} B_k - \sum_{k=1}^6 C_k \right) - \frac{\text{COPT} + \text{LIMP} \sum_{k=1}^{12} B_k}{2} \right] \frac{1}{1-i\beta_k} - \frac{\text{COPT} - \text{LIMP} \sum_{k=1}^{12} B_k}{2} \frac{1}{1+i\beta_k} + \frac{1}{2} \sum_{k=1}^6 \left(\frac{C_k}{1-\beta_k} + \frac{C_k}{1+\beta_k} \right) + \frac{1}{2} \sum_{k=1}^6 \left(\frac{D_k \delta_k}{1-\delta_k} - \frac{D_k \delta_k}{1+\delta_k} \right) \dots \quad (6)$$

Table 1

β	B	β	B
0.999950932	0.0000129231	0.9999706366	0.0000392487
0.999892892	0.0001179732	0.9996965892	0.0003168637
0.9991246776	0.0009443304	0.9975051651	0.0025351916
0.9929480356	0.0075570956	0.0801377264	0.0292982894
0.9448055399	0.0606644151	0.8510545331	0.1638275903
0.6298235588	0.5040934177	0.2573351818	1.4545547887
γ	C	γ	C
0.9957856189	0.0000330691	0.9814839417	0.0002786409
0.9430563423	0.0017759093	0.8499427039	0.0102485373
0.6400325341	0.0617306281	0.2964707690	0.3628999248
δ	D	δ	D
0.995889453	0.00003304367	0.9820172293	0.0002366757
0.9457325528	0.0012877766	0.8610029238	0.005244462
0.6806770841	0.0190152444	0.3788696049	0.0410595740

これは ζ の 1 次の項と 48 回の 1 次分数式の和の形で表わされている。そしてこの近似分数式の表わす領域を $2P\pi = 130^\circ$ の場合について(図-2)に示した。(図-2)において隅角部 A, B は本ものならば角点であるが、近似早像函数のため小さく丸味がついている。(表-2)には、各角度について A, B 点の曲率半径等を示した。各角度の上の数字が A 点、下の数字が B 点の値である。

1 次分数式の係数 $B_a, B_b, C_a, Y_a, P_a, P_b$ を定めるためのべき級数の係数の選び方は、いくつもありもあるわけであるが、これはべき級数の収束の仕方、速さ等を考慮して選ぶ必要がある。また作成した近似早像函数式(6)の一二次導函数が単位円内に零点を持たないことを確かめる必要があるが、これを解析的に確かめることは容易ではないようである。しかしながらこの場合、単位円内に零点の出来うるのは式(1)からわかるように $\zeta = -1$ の近傍である。従って $\zeta = -1$ の近傍で単位円内に零点があれば、(図-2)に示した境界線は、B 点でループを描くことになり、(表-2)に示した右 B 点の曲率は正になる。だからこの曲率の正負により零点の有無を判定することが出来る。

応力計算の基本式 複素応力函数 $\varphi(\zeta)$, $\psi(\zeta)$ を用いて \bar{z} 平面上の応力は, Kolosov-Muskhelishvili の表示より

$$\begin{aligned} Q_x + Q_y &= 4 \operatorname{Re} [\varphi'(\zeta) / \omega'(\zeta)] \\ Q_y - Q_x + 2i T_{xy} &= 2 \left[\overline{\omega(\zeta)} (\varphi(\zeta) \omega'(\zeta) - \varphi'(\zeta) \omega(\zeta)) / \omega'^2(\zeta) + \psi'(\zeta) / \omega(\zeta) \right] \end{aligned} \quad (7)$$

そして満足すべき境界条件式は、単位円周上 $\zeta = e^{i\theta}$ で

$$\varphi(\zeta) + \frac{\omega(\zeta)}{\omega'(\zeta)} \varphi'(\zeta) + \overline{\psi(\zeta)} = f_1 + i f_2 \equiv H(\zeta)$$

である。ここで $f_1 + i f_2$ は、境界条件より求まる複数である。上式両辺に $\frac{1}{2\pi i} \cdot \frac{d\zeta}{\zeta - \bar{z}}$ を乗じて単位円周上で積分すると

$$\varphi(\bar{z}) + \frac{1}{2\pi i} \int \frac{\omega(\zeta)}{\omega'(\zeta)} \frac{d\zeta}{\zeta - \bar{z}} + \overline{\psi(\bar{z})} = \frac{1}{2\pi i} \int \frac{H(\zeta)}{\zeta - \bar{z}} d\zeta$$

となる。上式より求めたい未知函数 $\psi(\bar{z})$ は、早像函数 $\omega(\zeta)$ が今の場合式(6)で与えられ、単位円内に正則、単位円外で 49 回の点まで 1 位の極を持つ複数であることを考え、また今の場合(図-2)に示すように領域および境界条件が実軸に関して対称であることを考慮すると多少簡単になり、 $\psi(\bar{z})$ における未定定数について 49 元 1 次の連立方程式を解くことによって複素応力函数 $\psi(\bar{z})$ を定めることが出来、 $\psi(\bar{z})$ が定まれば $\varphi(\bar{z})$ は簡単に定まる。

複素応力函数 $\varphi(\bar{z})$, $\psi(\bar{z})$ を求まつたらば、必要左点の応力は、式(7)より計算することが出来る。

境界条件および応力の計算結果 境界条件として(図-2)に示したようにラーメンの先端に大きさ 1.0 の集中偶力をかけた。応力の計算においては、早像函数を $2P\pi = 130^\circ \sim 165^\circ$ の間の角度で作り(図-2)に示す対称軸上の $\bar{A}\bar{B}$ 間における応力 Q_x , Q_y (当然のことながら $T_{xy} = 0$)

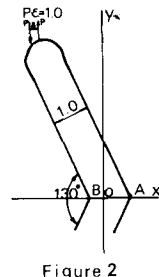
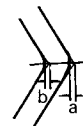


Figure 2

Table 2

	曲率半径	a, b の値
130°	0.01302	a=0.00135 b=0.00003
	-0.00031	
140°	0.01034	a=0.000066 b=0.000002
	-0.00034	
150°	0.00872	a=0.000031 b=0.000002
	-0.00059	
160°	0.00822	a=0.000013 b=0.000002
	-0.00129	



を求めた。そしてこれらの結果を(図-3～6)に示した。

(図-3)においては、横軸は \overline{OA} の距離(ラーメンの幅の半分を1.0として。

図-4, 5, 6においても同じ), 縦軸

に σ_x をと。左) 隅角部のA点の応力は、

近似写像函数のため小土丸味があるで

ることによって、本当にA点が角点ならば応力は0であるのに0にならない。

隅角部の角度の大きさ程A点からの応力の分布の傾向は急であるが、これは角度が大きくなる程 $2P\pi = 180^\circ$ (帯状領域) の応力分布に近づくことからも納得できる。(図-4)には、内側の隅角部B点よりD点までの応力分布を示した。B点の応力は、B点が角点ならば無限大になるが小土丸味のついているため有限である。

が(表-2)の曲率半径でかなりの集中応力が生じることがわかる。そしてこれは角度の小さくなる程

大きく、またB点から少しでも離れると急速に減少しており、これを角度の小さくなる程美しい。(図-5)には、

AB 間の σ_x の分布を示した。そして(図-6)には、A点

を起点として σ_x の分布を 130° より 165° まで 5° き

ざみに示した。 σ_x の分布はA点においては角度の小さくなる程なめらかに増加し、角度の大きくなる程増加の傾向が急である。並

にB点においては、角度の小さくなる程応力の増加の傾向は急である。そしてB点の丸味の小さい

程応力は急激に変化し、B点が角にならなければ、そこには、零点と極が背中合せに存在するよう

になるとと思われる。

参考文献

(1) Muskhelishvili : Some Basic Problems of the Mathematical Theory of Elasticity

(2) 岡林：領域が有理函数によつて直線境界

の半平面に等角写像される場合の2次元弹性問題の解法およびくさび状の裂口を有する無限薄板への

その应用。(土木学会論文集第119号 脂40. 7)

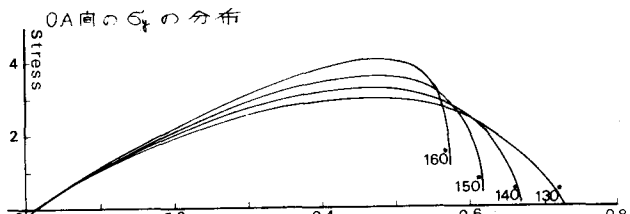


Figure 3

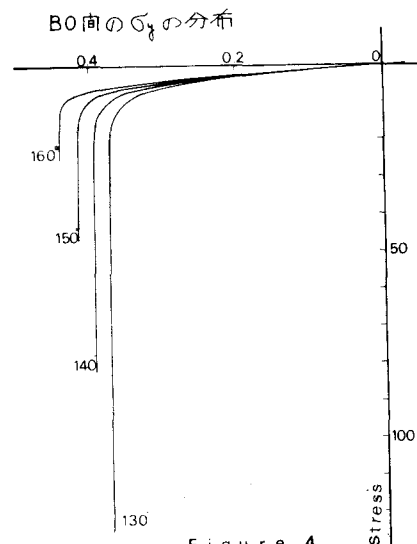


Figure 4

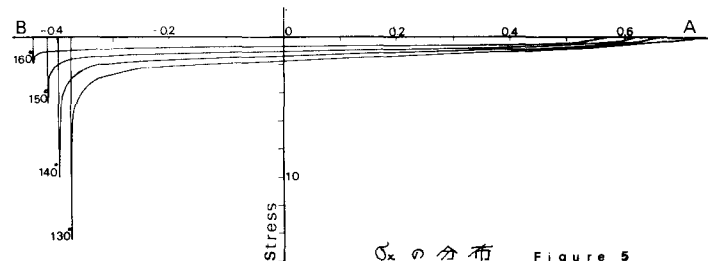


Figure 5

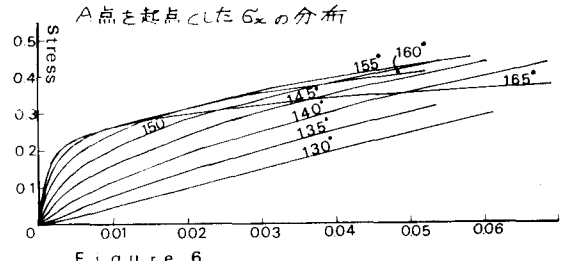


Figure 6